

## 固相萃取-液相色谱-串联质谱法 检测血液中海洛因及其代谢产物

张 松<sup>1</sup>, 曹峻华<sup>1</sup>, 刘文文<sup>2</sup>

(1. 重庆市公安局交通管理局, 重庆 400054; 2. 重庆市公安局物证鉴定中心, 重庆 400021)

**摘要:**建立了固相萃取-液相色谱-串联质谱(SPE-LC-MS/MS)法分析吸毒者血样中的 $O^6$ -单乙酰吗啡、吗啡、3- $\beta$ -D-葡萄糖醛酸吗啡。以3- $\beta$ -D-葡萄糖醛酸吗啡-d<sub>3</sub>为内标,选取Oasis HLB为固相萃取柱, Atlantis<sup>TM</sup>dC18(150 mm×3.9 mm×5 μm)色谱柱为分析柱,采用甲醇-0.1%甲酸水溶液为流动相进行梯度洗脱;采用电喷雾正离子电离源,多反应监测(MRM)扫描方式,通过两对母离子/子离子和保留时间定性定量检测目标化合物。结果表明:血样中 $O^6$ -单乙酰吗啡、吗啡、3- $\beta$ -D-葡萄糖醛酸吗啡的检测限为3~5 μg/L,线性关系良好,相关系数均在0.997 5以上;添加50、500、1 000 μg/L加标水平后, $O^6$ -单乙酰吗啡、吗啡、3- $\beta$ -D-葡萄糖醛酸吗啡的平均回收率为80.6%~98.9%,准确度为-7.3%~9.1%。该方法具有较高的灵敏度和选择性,可用于实际案件中海洛因及其代谢产物的检测。

**关键词:**液相色谱-串联质谱法(LC-MS/MS);固相萃取(SPE); $O^6$ -单乙酰吗啡;吗啡;3- $\beta$ -D-葡萄糖醛酸吗啡

**中图分类号:**O657.63      **文献标志码:**A      **文章编号:**1004-2997(2015)04-0367-05

**doi:**10.7538/zpxb.youxian.2015.0020

## Determination of Heroin and Its Metabolites in Addicts' Blood by Solid Phase Extraction and LC-MS/MS

ZHANG Song<sup>1</sup>, CAO Jun-hua<sup>1</sup>, LIU Wen-wen<sup>2</sup>

(1. Chongqing Traffic Management Bureau, Chongqing 400054, China;  
2. Chongqing Institute of Forensic Science, Chongqing 400021, China)

**Abstract:**  $O^6$ -Monoacetylmorphine, morphine, morphine-3- $\beta$ -D-glucuronide in addicts' blood samples were analyzed by solid phase extraction (SPE) and liquid chromatography-tandem mass spectrometry (LC-MS/MS). The samples were extracted by extraction column (Oasis HLB), and then were flushed into the analytical column (Atlantis<sup>TM</sup>dC18 (150 mm×3.9 mm×5 μm)) with methanol and water containing formic acid as mobile phase and morphine-3- $\beta$ -D-glucuronide-d<sub>3</sub> as internal standard. The positive electric spray ionization, multiple reaction monitoring (MRM) mode were applied to analyze target compounds. Identification was based on the compound's retention time and two

收稿日期:2014-08-22;修回日期:2014-12-01

作者简介:张 松(1978—),男(汉族),山东济宁人,工程师,从事理化检验工作。E-mail: zhangsong\_2008@163.com

网络出版时间:2015-05-26;网络出版地址:<http://www.cnki.net/kcms/detail/11.2979.TH.20150526.0915.006.html>

pairs of precursor-to-product ion transitions. The results show that the limit of detections are 3-5  $\mu\text{g}/\text{L}$  for morphine,  $O^6$ -monoacetylmorphine and morphine-3- $\beta$ -D-glucuronide. The linear relationship is well, and the linear correlation coefficient is greater than 0.997 5. The average recoveries are 80.6%-98.9% with the spiked levels of 50, 500, 1 000  $\mu\text{g}/\text{L}$ , and the accuracies are -7.3%-9.1%. The method has high sensitivity and selectivity, which is suitable for analyzing the heroin and its metabolites in addicts' blood samples.

**Key words:** liquid chromatography-tandem mass spectrometry (LC-MS/MS); solid phase extraction (SPE);  $O^6$ -monoacetylmorphine; morphine; morphine-3- $\beta$ -D-glucuronide

海洛因又称双乙酰吗啡,是目前依赖潜力最强的毒品,成瘾者对其具有高度的心理及生理依赖性,难以戒除。因此,及时准确地检测海洛因及其代谢产物,对于防止毒品泛滥、禁毒及戒毒、保护人民身心健康具有重大意义。海洛因在体内的代谢较快,经体内的酯酶水解成单乙酰吗啡(主要是 $O^6$ -单乙酰吗啡),继而代谢成吗啡,吗啡的3位酚羟基和6位醇羟基分别与葡萄糖醛酸结合,绝大部分生成3- $\beta$ -D-葡萄糖醛酸吗啡(M3G),少量转化为6- $\beta$ -D-葡萄糖醛酸吗啡(M6G)<sup>[1-2]</sup>。因此,在人体内很难检测到海洛因原体, $O^6$ -单乙酰吗啡则作为特征代谢产物被用于判断是否摄入海洛因的依据。

海洛因及其主要代谢产物的常用检测方法有GC/MS法<sup>[3-5]</sup>、高效液相色谱法(HPLC)法<sup>[6-7]</sup>、LC/MS<sup>[8-9]</sup>法及LC-MS/MS法<sup>[10-12]</sup>等。其中,GC/MS法需要酸水解,整个过程的检材量大、操作复杂、不易控制、无法准确定量;HPLC法的检测器灵敏度较低,在检测药物含量较低时会导致无法检出;LC/MS法的抗干扰能力较差;而LC-MS/MS法将液相色谱的高效在线分离能力与串联质谱的高灵敏度、高选择性集于一体,能够满足实际检测的要求。

本研究拟采用固相萃取法(SPE)对检材进行前处理,LC-MS/MS法检测血液中海洛因及其主要代谢产物( $O^6$ -单乙酰吗啡、吗啡、3- $\beta$ -D-葡萄糖醛酸吗啡),旨为临床、法医毒物分析检测提供方法参考。

## 1 实验部分

### 1.1 仪器及试剂

API2000 LC-MS/MS 联用仪:美国 ABI 公

司产品;LC-20A型高效液相色谱仪,Caliper Rapid Trace 固相萃取仪:日本岛津公司产品;AE240 电子天平(十万分之一):瑞士 Mettler 公司产品;Beckman Allegra X-22R Centrifuge 型冷冻离心机:美国 Beckman 公司产品;Millipore Direct-Q3 型纯水机:美国 Millipore 公司产品。

海洛因、吗啡、3- $\beta$ -D-葡萄糖醛酸吗啡、 $O^6$ -单乙酰吗啡标准品及3- $\beta$ -D-葡萄糖醛酸吗啡-d<sub>3</sub>(M3G-d<sub>3</sub>)内标物:均由国药公司提供;甲醇为色谱纯;其他试剂均为分析纯。

实验数据采用 Analyst1.4.1 分析软件处理。

### 1.2 溶液的配制

分别准确量取1 mg  $O^6$ -单乙酰吗啡、吗啡、M3G 标准品于10 mL 容量瓶中,用甲醇定容,配制成100 mg/L 混合标准样品储备液。分别准确量取0.1、0.2 mL 混合标准样品储备液于10 mL 容量瓶中,用甲醇定容,配制成1、2 mg/L 混合标准工作液。取0.05 mL 100 mg/L M3G-d<sub>3</sub> 标准品于50 mL 容量瓶中,用甲醇定容,配制成100  $\mu\text{g}/\text{L}$  内标工作液。

### 1.3 工作曲线的绘制

将100 mg/L 混合标准样品储备液分别配制成0.1、0.5、1、5、20 mg/L 5个不同浓度的混合标准品溶液,取5份0.9 mL 空白全血,依次加入0.1 mL 各浓度的混合标准品溶液,混匀后,用含1.5 mL 100  $\mu\text{g}/\text{L}$  M3G-d<sub>3</sub> 的水溶液稀释,离心,经固相萃取柱(Oasis HLB)萃取后,用液相色谱-质谱联用仪检测,由 Analyst1.4.1 分析软件绘制标准曲线。

### 1.4 样品处理方法

向1 mL 血液样品中加入含1.5 mL 100  $\mu\text{g}/\text{L}$  M3G-d<sub>3</sub> 的水溶液稀释,离心,取上清液,待过

柱;取 Oasis HLB 固相萃取柱,依次加入 1 mL 甲醇、1 mL 去离子水活化,取上清液过柱,然后用 1 mL 去离子水清洗,2 mL 甲醇洗脱,氮气吹干,0.5 mL 初始流动相溶解,待检测。

### 1.5 实验条件

**1.5.1 液相色谱条件** 色谱柱: Atlantis<sup>TM</sup> dC18 柱(150 mm×3.9 mm×5 μm);流速 0.5 mL/min;柱温 35 °C;进样量 20 μL;流动相:甲醇(A)和 0.1% 甲酸水溶液(B);梯度洗脱:0~3 min、

20% A~90% A,3~9 min、90% A~20% A;总采样时间 12 min。

**1.5.2 质谱条件** 电喷雾(ESI)离子源,多反应监测(MRM)扫描方式,正离子扫描,电喷雾电压 5 200 V,雾化气压力 35 Pa,气帘气压力 20 Pa,离子源温度 400 °C,碰撞气为氩气。每个化合物设两对母离子/子离子(3-β-D-葡萄糖醛酸吗啡和内标只有 1 对母离子/子离子响应较明显),各 MRM 参数列于表 1。

表 1 吗啡、3-β-D-葡萄糖醛酸吗啡、内标、O<sup>6</sup>-单乙酰吗啡、海洛因的 MRM 参数

Table 1 MRM parameters of morphine, M3G, M3G-d<sub>3</sub>, O<sup>6</sup>-monoacetylmorphine and heroin

名称	保留时间/min	定量离子对( <i>m/z</i> )	定性离子对( <i>m/z</i> )	碰撞能量/eV
吗啡	5.81	286.1/165.1	286.1/165.1	52.0
			286.1/201.1	35.0
M3G	4.61	462.2/286.1	462.2/286.1	41.0
M3G-d <sub>3</sub>	4.61	465.2/289.1	465.2/289.1	41.0
O <sup>6</sup> -单乙酰吗啡	7.29	328.0/165.1	328.0/165.1	49.0
			328.0/211.2	35.0
海洛因	8.49	—	370.1/165.1	63.0
			370.1/268.2	39.0

注:—表示不稳定,无法定量

## 2 结果与讨论

### 2.1 色谱图

按 1.5 节条件测得的人空白全血色谱图中不存在 3-β-D-葡萄糖醛酸吗啡、吗啡、O<sup>6</sup>-单乙酰吗啡、海洛因等药物的干扰,也无其他杂质,说明本方法的特异性良好。

3-β-D-葡萄糖醛酸吗啡及内标、吗啡、O<sup>6</sup>-单乙酰吗啡、海洛因在 1.5.1 节条件下的保留时间分别为 4.61、5.81、7.29、8.49 min,色谱行为良好,其总离子流色谱图示于图 1。

### 2.2 线性关系、检测限与定量下限

取经 1.2 和 1.4 节处理好的样品,用液相色谱-串联质谱仪分析,以峰面积与内标峰面积之比(*y*)对样品中化合物的浓度(*x*)作图,各化合物的线性关系良好;当信噪比 S/N=3 时,3-β-D-葡萄糖醛酸吗啡、吗啡、O<sup>6</sup>-单乙酰吗啡的定量下限均为 10 μg/L,各化合物的检测限、线性回归方程和相关系数列于表 2。

### 2.3 回收率、精密度及准确度

向空白全血中添加低、中、高 3 个质量浓

度的混合标准工作液,使添加标样的浓度分别为 50、500、1 000 μg/L,每个加标水平取 5 个平行样,测得各加标水平的平均回收率,同时计算各浓度血样测定结果的准确度,结果列于表 3。重复测定低、中、高浓度的样品 6 次,得到日内精密度;连续测定 4 天,得到日间精密度,结果列于表 4。

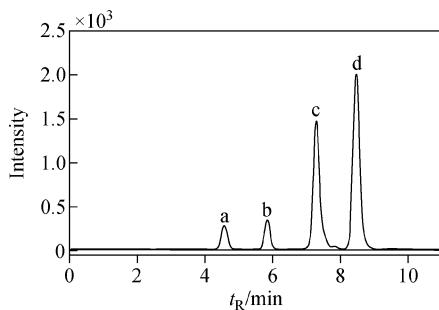


图 1 3-β-D-葡萄糖醛酸吗啡及内标(a)、吗啡(b)、O<sup>6</sup>-单乙酰吗啡(c)和海洛因(d)的总离子流色谱图

Fig. 1 Total ion chromatogram of M3G and M3G-d<sub>3</sub> (a), morphine (b), O<sup>6</sup>-monoacetylmorphine (c) and heroin (d)

表 2 3- $\beta$ -D-葡萄糖醛酸吗啡、吗啡和 O<sup>6</sup>-单乙酰吗啡的检测限、定量限和线性关系Table 2 The detection limits, quantification limits, linear equations and coefficients of M3G, morphine and O<sup>6</sup>-monoacetylmorphine

药物名称	检测限/( $\mu\text{g}/\text{L}$ )	定量下限/( $\mu\text{g}/\text{L}$ )	线性范围/( $\mu\text{g}/\text{L}$ )	线性方程	相关系数
吗啡	5	10	10~2000	$y=8.96x+0.0335$	0.9986
M3G	3	10	10~2000	$y=7.38x+0.0359$	0.9989
O <sup>6</sup> -单乙酰吗啡	5	10	10~2000	$y=8.19x+0.0248$	0.9975

表 3 3- $\beta$ -D-葡萄糖醛酸吗啡、吗啡、O<sup>6</sup>-单乙酰吗啡的回收率和准确度Table 3 The recoveries and accuracies of M3G, morphine, O<sup>6</sup>-monoacetylmorphine

化合物	添加 50 $\mu\text{g}/\text{L}$		添加 500 $\mu\text{g}/\text{L}$		添加 1000 $\mu\text{g}/\text{L}$	
	回收率/%	准确度/%	回收率/%	准确度/%	回收率/%	准确度/%
吗啡	80.6	6.5	84.5	4.1	92.9	2.3
M3G	81.5	-7.3	90.3	-2.3	98.9	5.6
O <sup>6</sup> -单乙酰吗啡	87.6	9.1	89.4	5.3	93.1	8.2

表 4 3- $\beta$ -D-葡萄糖醛酸吗啡、吗啡、O<sup>6</sup>-单乙酰吗啡的日内和日间精密度Table 4 The intra-day and inter-day precisions of M3G, morphine, O<sup>6</sup>-monoacetylmorphine

化合物	浓度 50 $\mu\text{g}/\text{L}$		浓度 500 $\mu\text{g}/\text{L}$		浓度 1000 $\mu\text{g}/\text{L}$	
	日内精密度/%	日间精密度/%	日内精密度/%	日间精密度/%	日内精密度/%	日间精密度/%
M3G	0.9	2.6	2.6	4.6	2.1	4.2
吗啡	2.6	1.8	3.9	2.4	2.1	1.9
O <sup>6</sup> -单乙酰吗啡	1.8	1.5	2.4	2.7	1.9	3.6

注: 日内精密度  $n=6$ , 日间精密度  $n=4$ 

## 2.4 实际应用举例

案例 1: 2013 年 7 月, 李某驾驶小型轿车在重庆市某区人民法院前路段与 6 车发生连续相撞, 造成 1 人重伤, 7 车受损的重大道路交通事故。事故发生后, 民警发现李某有吸毒驾驶机动车嫌疑, 后在李某血液中检出吗啡和 3- $\beta$ -D-葡萄糖醛酸吗啡, 其含量分别为 126  $\mu\text{g}/\text{L}$ 、83  $\mu\text{g}/\text{L}$ 。

案例 2: 2014 年 2 月, 在重庆市南岸区发生了一起司机刘某死于自己车内的事件, 其右手握有塑料针管, 针头部分有血迹。后在死者所持针管中检出海洛因、单乙酰吗啡; 在刘某血液中检出 O<sup>6</sup>-单乙酰吗啡、吗啡和 3- $\beta$ -D-葡萄糖醛酸吗啡, 其含量分别为 221  $\mu\text{g}/\text{L}$ 、983  $\mu\text{g}/\text{L}$ (已达致死量)、392  $\mu\text{g}/\text{L}$ , 其色谱图示于图 2。

现 4 种药物在 10 min 内的快速检测。该方法的抗干扰能力强、检测速度快, 具有保留时间和串联质谱特征离子对确证的优点; 且定量准确、灵敏度高, 能满足同时检测海洛因、3- $\beta$ -D-葡萄糖醛酸吗啡、吗啡和 O<sup>6</sup>-单乙酰吗啡 4 种药物的要求。

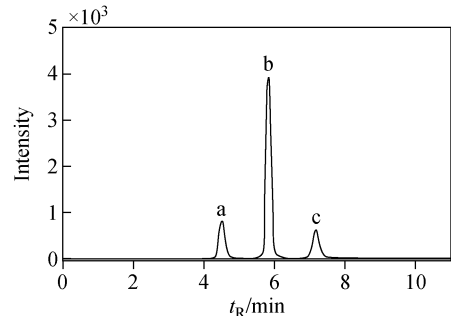
注: a. 3- $\beta$ -D-葡萄糖醛酸吗啡; b. 吗啡; c. O<sup>6</sup>-单乙酰吗啡

图 2 案件 2 的总离子流色谱图

Fig. 2 Total ion chromatogram of case two

## 3 结论

本研究建立了固相萃取-液相色谱-串联质谱快速检测海洛因及其代谢产物的方法, 可实

**参考文献:**

- [1] 钟大放. 药物代谢[M]. 北京:中国医药科技出版社,1995;8-13.
- [2] 吕海茹. 尿中吗啡常见检测方法[J]. 刑事技术, 2008,(2):29-31.  
LV Hairu. Detection of morphine in urine[J]. Forensic Science and Technology, 2008, (2): 29-31(in Chinese).
- [3] 姬晓新. 血中吗啡的GC-MS检验[J]. 分析测试学报,2004,23(9):35-36.  
JI Xiaoxin. GC-MS test morphine in blood[J]. Journal of Instrumental Analysis, 2004, 23(9): 35-36(in Chinese).
- [4] 何国标,蒋硕勤,罗正坚. 吗啡类毒品的固相萃取-气质联用法测定[J]. 分析测试学报,2008,27(增刊):11-12.  
HE Guobiao, JIANG Shuoqin, LUO Zhengjian. Determination of morphine-type drugs in urine by SPE/GC-MS[J]. Journal of Instrumental Analysis, 2008, 27(Suppl): 11-12(in Chinese).
- [5] 蔡锡兰,吴国萍. 膜提取气相色谱/质谱大体积进样检测海洛因吸食者尿液中的代谢物[J]. 分析化学,2002,30(1):126.  
CAI Xilan, WU Guoping. Determination of heroin metabolites in urine of addicts by using the solid phase membrane extractor and GC/MS large-volume injection method[J]. Chinese Journal of Analytical Chemistry, 2002, 30(1): 126(in Chinese).
- [6] GHAZI-KHANSARI M, ZENDEHDEL R, PIRALI-HAMEDANI M, et al. Determination of morphine in the plasma of addicts in using Zeolite Y extraction following high-performance liquid chromatography [J]. Clinica Chimica Acta, 2009, 364(1/2): 235-238.
- [7] 张小婷. 超高效液相色谱法(UPLC)同时筛选检测吗啡等7种常见毒品[J]. 刑事技术,2008,(6):11-12.  
ZHANG Xiaoting. The analysis of common abuse drugs by UPLC simultaneously[J]. Forensic Science and Technology, 2008, (6): 11-12(in Chinese).
- Chinese).
- [8] TAYLOR K, ELLIOTT S. A validated hybrid quadrupole linear ion-trap LC-MS method for the analysis of morphine and morphine glucuronides applied to opiate deaths[J]. Forensic Science International, 2009, 187(1/2/3): 34-41.
- [9] SVENSSON J O, ANDERSSON M, GUSTAVSSON E, et al. Electrospray LC-MS method with solid-phase extraction for accurate determination of morphine, codeine, and ethylmorphine-glucuronides and 6-acetylmorphine in urine[J]. Anal Toxicol, 2007, 31(2): 81-86.
- [10] 梁晨,叶海英,张玉荣,等. 吸毒者尿样中 $3\beta$ -D-葡萄糖醛酸吗啡、吗啡、 $O^6$ -单乙酰吗啡、可待因的LC-MS/MS分析[J]. 质谱学报,2010, 31(2): 224-227.  
LIANG Chen, YE Haiying, ZHANG Yurong, et al. Determination of morphine-3- $\beta$ -D-glucuroinide, morphine,  $O^6$ -monoacetylmorphine and codeine in heroin addicts' urine by LC-MS/MS[J]. Journal of Chinese Mass Spectrometry Society, 2010, 31(2): 224-227(in Chinese).
- [11] 王俊伟,郭亚飞,王绘军,等. 葡萄糖醛酸吗啡的LC-MS/MS检验方法研究[J]. 分析测试学报, 2007, 26(9):130-134.  
WANG Junwei, GUO Yafei, WANG Huijun, et al. A study on the determination method of morphine glucuronide by HPLC-MS/MS [J]. Journal of Instrumental Analysis, 2007, 26(9): 130-134(in Chinese).
- [12] 梁晨,叶海英,张玉荣,等. 柱切换LC-MS/MS分析吸毒者尿样中的吗啡、 $O^6$ -单乙酰吗啡、可待因、乙酰可待因[J]. 质谱学报,2011,32(3):159-163.  
LIANG Chen, YE Haiying, ZHANG Yurong, et al. Determination of morphine,  $O^6$ -monoacetyl morphine, codeine and acetylcodeine in heroin addicts' urine by on-line solid-phase extraction liquid chromatography with tandem mass spectrometry[J]. Journal of Chinese Mass Spectrometry Society, 2011, 32(3): 159-163(in Chinese).